

### บทที่ 3

## ตัวควบคุมเอชอินฟินิตี้สำหรับระบบเชิงเส้น ที่เปลี่ยนแปลงตามพารามิเตอร์ที่มีความไม่แน่นอนแบบไม่มีโครงสร้าง

จากภาคผนวก ข พบว่าตัวควบคุมเอชอินฟินิตี้ที่มีการเปลี่ยนแปลงค่าพารามิเตอร์ ให้ผลตอบที่มีสมรรถนะที่ดี แต่แบบจำลองที่ใช้มีข้อกำหนดที่ว่าจะต้องสามารถวัดค่าตัวแปรกำหนดได้ทั้งหมด ซึ่งเป็นข้อจำกัดของแบบจำลองดังกล่าว เนื่องจากตัวแปรกำหนดบางตัวไม่สามารถวัดค่าได้จริง ในบทนี้จึงแบ่งตัวแปรกำหนดออกเป็น 2 ส่วน คือ ส่วนที่วัดค่าได้และส่วนที่วัดค่าไม่ได้ โดยเรียกส่วนที่วัดค่าได้ว่าตัวแปรกำหนดเช่นเดิม และเรียกส่วนที่วัดค่าไม่ได้ว่าความไม่แน่นอน ตัวแปรกำหนดนี้อาจเป็นตัวแปรกำหนดที่มีโครงสร้างหรือไม่ก็ได้ แต่ความไม่แน่นอนของระบบนี้ต้องเป็นความไม่แน่นอนที่ไม่มีโครงสร้างเท่านั้น

ในบทนี้ แสดงรูปแบบของแบบจำลองเชิงเส้นที่เปลี่ยนแปลงตามพารามิเตอร์ ที่มีความไม่แน่นอนแบบไม่มีโครงสร้าง พร้อมทั้งวิธีการออกแบบตัวควบคุมเอชอินฟินิตี้ที่มีการเปลี่ยนแปลงค่าพารามิเตอร์ ในช่วงท้ายแสดงตัวอย่างการออกแบบ และเปรียบเทียบผลการควบคุมในกรณีที่ละเลยความไม่แน่นอนของระบบกับกรณีที่คิดผลของความไม่แน่นอนของระบบ ระบบตัวอย่างที่เลือกใช้ได้แก่ ระบบลูกตุ้มผกผันบนรถและระบบเลี้ยงลูกบอลบนคาน

### 3.1 รูปแบบของระบบ

จากระบบเชิงเส้นที่เปลี่ยนแปลงตามพารามิเตอร์ดังสมการที่ (2.1) หากตัวแปรกำหนดบางส่วนไม่สามารถวัดค่าได้ หรือระบบนี้มีความไม่แน่นอน แบบจำลองจึงควรมีความไม่แน่นอนด้วย แบบจำลองเชิงเส้นที่เปลี่ยนแปลงตามพารามิเตอร์ที่มีความไม่แน่นอน มีสมการบรรยายระบบเป็นดังนี้

$$\begin{aligned} \dot{x}(t) &= \bar{A}(\theta(t), \Delta(t)) x(t) + \bar{B}_1(\theta(t), \Delta(t)) w(t) + \bar{B}_2(\theta(t), \Delta(t)) u(t) \\ z(t) &= \bar{C}_1(\theta(t), \Delta(t)) x(t) + \bar{D}_{11}(\theta(t), \Delta(t)) w(t) + \bar{D}_{12}(\theta(t), \Delta(t)) u(t) \\ y(t) &= \bar{C}_2(\theta(t), \Delta(t)) x(t) + \bar{D}_{21}(\theta(t), \Delta(t)) w(t) + \bar{D}_{22}(\theta(t), \Delta(t)) u(t) \end{aligned} \quad (3.1)$$

โดยที่  $\theta(t)$  เป็นตัวแปรกำหนดที่สามารถวัดค่าได้

$\Delta(t)$  เป็นตัวแปรกำหนดที่ไม่สามารถวัดค่าได้และความไม่แน่นอนของระบบ ระบบที่เลือกใช้นี้มีข้อกำหนดเช่นเดียวกับที่กล่าวไว้ในบทที่แล้ว ดังนี้

1. ระบบสามารถทำเสถียรได้ (stabilizable) และสามารถตรวจจับได้ (detectable)
2. ระบบไม่มีการส่งผ่านสัญญาณควบคุมไปยังสัญญาณที่วัดได้โดยตรง ( $D_{22} = 0$ )
3. จำนวนสัญญาณเข้าภายนอกเท่ากับจำนวนสัญญาณออกที่ต้องการควบคุม ( $n_z = n_w$ )

ระบบดังสมการที่ (3.1) เขียนในรูปของการแปลงส่วนย่อยเชิงเส้นได้ดังนี้

$$\begin{aligned}
 \dot{x}(t) &= Ax(t) + B_\theta w_\theta(t) + B_\Delta w_\Delta(t) + B_1 w(t) + B_2 u(t) \\
 z_\theta(t) &= C_\theta x(t) + D_{\theta\theta} w_\theta(t) + D_{\theta\Delta} w_\Delta(t) + D_{\theta 1} w(t) + D_{\theta 2} u(t) \\
 z_\Delta(t) &= C_\Delta x(t) + D_{\Delta\theta} w_\theta(t) + D_{\Delta\Delta} w_\Delta(t) + D_{\Delta 1} w(t) + D_{\Delta 2} u(t) \\
 z(t) &= C_1 x(t) + D_{1\theta} w_\theta(t) + D_{1\Delta} w_\Delta(t) + D_{11} w(t) + D_{12} u(t) \\
 y(t) &= C_2 x(t) + D_{2\theta} w_\theta(t) + D_{2\Delta} w_\Delta(t) + D_{21} w(t)
 \end{aligned} \tag{3.2}$$

ตัวแปรกำหนดและความไม่แน่นอน เป็นดังสมการ (3.3)

$$\begin{aligned}
 w_\theta(t) &= \Theta(t) z_\theta(t) \\
 w_\Delta(t) &= \Delta(t) z_\Delta(t)
 \end{aligned} \tag{3.3}$$

โดยที่  $x \in \mathbb{R}^n$  คือตัวแปรสถานะของพลาเน็ต

$w \in \mathbb{R}^{n_w}$  คือสัญญาณเข้าภายนอก

$u \in \mathbb{R}^{n_u}$  คือสัญญาณควบคุม

$z \in \mathbb{R}^{n_z}$  คือสัญญาณออกที่ต้องการควบคุม

$y \in \mathbb{R}^{n_y}$  คือสัญญาณออกที่วัดได้

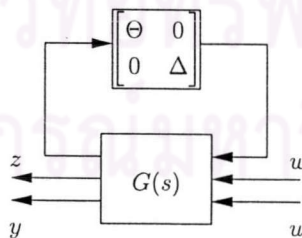
$\Theta(t) \in \bar{\Theta}$  เป็นตัวแปรกำหนดของพลาเน็ต และ  $\bar{\Theta}$  มีโครงสร้างตามสมการ (2.4)

$\Delta(t) \in \bar{\Delta}$  เป็นความไม่แน่นอนที่ไม่มีโครงสร้างของพลาเน็ต และ  $\bar{\Delta}$  มีโครงสร้างตามสมการ (3.4)

$$\bar{\Delta} \triangleq \left\{ \begin{bmatrix} \Delta_{11}(t) & \Delta_{12}(t) & \cdots & \Delta_{1n_\Delta}(t) \\ \Delta_{21}(t) & \Delta_{22}(t) & & \vdots \\ \vdots & & \ddots & \vdots \\ \Delta_{n_\Delta 1}(t) & \cdots & \cdots & \Delta_{n_\Delta n_\Delta}(t) \end{bmatrix} : \Delta_{ij}(t) \in \mathbb{R} \right\} \tag{3.4}$$

พลาเน็ตดังกล่าวสามารถรวมตัวแปรกำหนด  $\Theta(t)$  และความไม่แน่นอน  $\Delta(t)$  เข้าด้วยกัน ได้ฟังก์ชันถ่ายโอนดังสมการที่ (3.5) และมีบล็อกไดอะแกรมเป็นดังรูปที่ 3.1

$$\begin{bmatrix} z(t) \\ y(t) \end{bmatrix} = F_u \left( G, \begin{bmatrix} \Theta & 0 \\ 0 & \Delta \end{bmatrix} \right) \begin{bmatrix} w(t) \\ u(t) \end{bmatrix} \tag{3.5}$$



รูปที่ 3.1: พลาเน็ตเชิงเส้นที่เปลี่ยนแปลงตามพารามิเตอร์ที่มีความไม่แน่นอน

กำหนดให้ตัวควบคุม  $K(s)$  เป็นแบบเชิงเส้นและมีการเปลี่ยนแปลงพารามิเตอร์ตามตัวแปรกำหนดของพลาเน็ตดังนี้

$$u = F_l(K(s), \Theta) y \tag{3.6}$$

ซึ่งมีสมการสถานะเป็นดังนี้

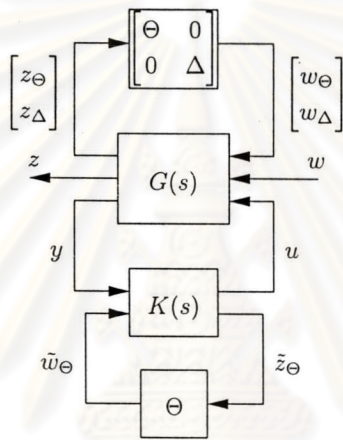
$$\begin{aligned} \dot{x}_k(t) &= A_k x_k(t) + B_{k1} y(t) + B_{k\theta} \tilde{w}_\theta(t) \\ u(t) &= C_{k1} x_k(t) + D_{k11} y(t) + D_{k1\theta} \tilde{w}_\theta(t) \\ \dot{z}_\theta(t) &= C_{k\theta} x_k(t) + D_{k\theta 1} y(t) + D_{k\theta\theta} \tilde{w}_\theta(t) \end{aligned} \quad (3.7)$$

และ

$$\tilde{w}_\theta(t) = \Theta(t) \tilde{z}_\theta(t) \quad (3.8)$$

โดยที่  $x_k \in \mathbb{R}^{n_k}$  เป็นตัวแปรสถานะของตัวควบคุม และ  $\Theta(t)$  มีโครงสร้างเช่นเดียวกับพลาเนตดังสมการ (2.4)

รวมพลาเนตและตัวควบคุมเข้าด้วยกันได้บล็อกไดอะแกรมเป็นดังรูปที่ 3.2



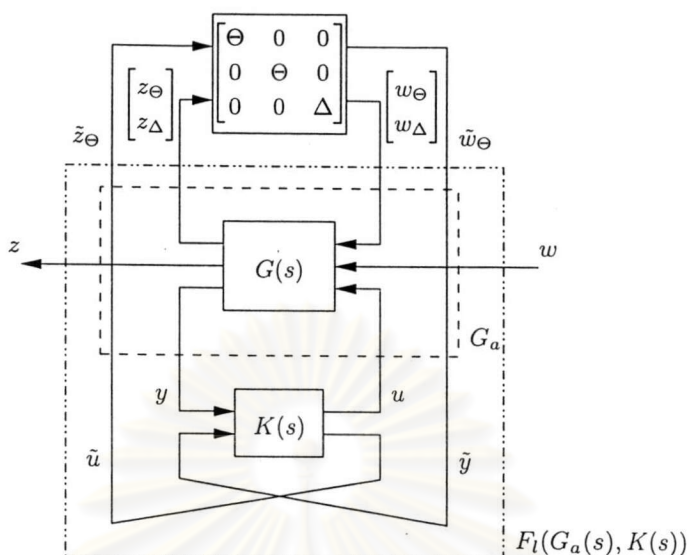
รูปที่ 3.2: ระบบวงปิดของระบบเชิงเส้นที่เปลี่ยนแปลงตามพารามิเตอร์

ย้ายบล็อกตัวแปรกำหนดของตัวควบคุมไปรวมกับตัวแปรกำหนดและความไม่แน่นอนของพลาเนตดังรูปที่ 3.3 และกำหนดพลาเนตที่ถูกต่อเติม (augmented plant)  $G_a(s)$  ดังนี้

$$\begin{bmatrix} \tilde{z}_\theta \\ z_\theta \\ z_\Delta \\ z \\ y \\ \tilde{y} \end{bmatrix} = \underbrace{\begin{bmatrix} 0 & 0 & I \\ 0 & G(s) & 0 \\ I & 0 & 0 \end{bmatrix}}_{G_a(s)} \begin{bmatrix} \tilde{w}_\theta \\ w_\theta \\ w_\Delta \\ w \\ u \\ \tilde{u} \end{bmatrix} \quad (3.9)$$

นิยามให้  $\bar{G}(s)$  มีค่าดังนี้

$$\bar{G}(s) \triangleq F_l(G_a(s), K(s)) \quad (3.10)$$



รูปที่ 3.3: บล็อกไดอะแกรมของระบบวงปิดที่จัดรูปใหม่

ระบบวงปิดจะมีฟังก์ชันถ่ายโอน  $T_{zw}$  จาก  $w$  ไปยัง  $z$  เป็นดังนี้

$$T_{zw} = F_u \left( F_l(G_a(s), K(s)), \begin{bmatrix} \Theta & 0 & 0 \\ 0 & \Theta & 0 \\ 0 & 0 & \Delta \end{bmatrix} \right) \tag{3.11}$$

$$= F_u \left( \bar{G}(s), \begin{bmatrix} \Theta & 0 & 0 \\ 0 & \Theta & 0 \\ 0 & 0 & \Delta \end{bmatrix} \right) \tag{3.12}$$

จุดประสงค์ของการควบคุม คือ

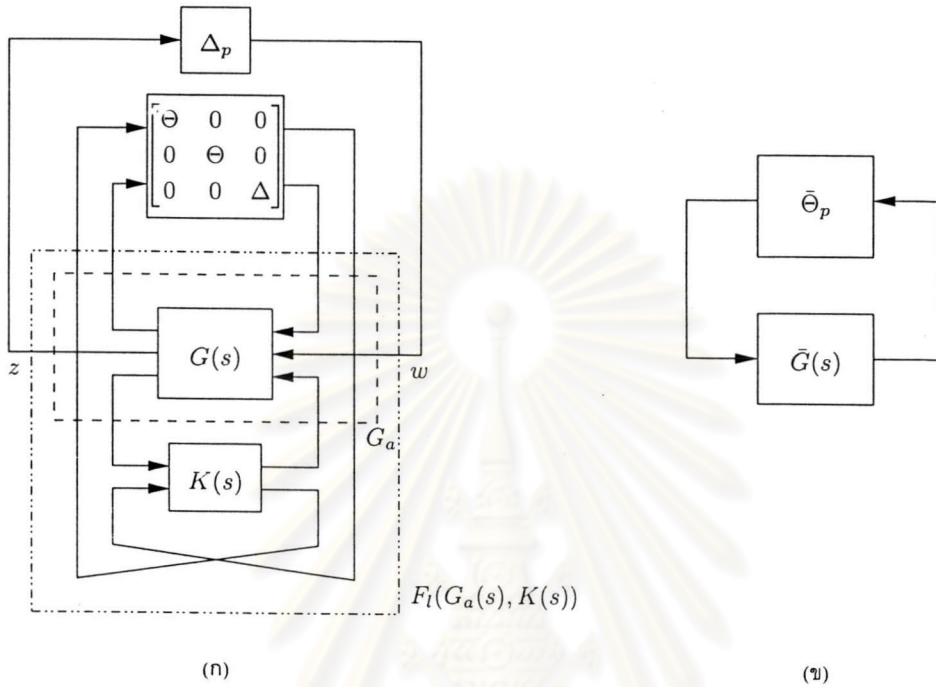
1. ระบบวงปิด  $T_{zw}$  มีเสถียรภาพภายในสำหรับตัวแปรกำหนด  $\Theta$  ทุกตัวที่สอดคล้องกับ  $\|\Theta\|_\infty \leq 1/\gamma$  และความไม่แน่นอน  $\Delta$  ทุกตัวที่สอดคล้องกับ  $\|\Delta\|_\infty \leq 1/\gamma$
2. นอร์มเหนี่ยวนำของ  $T_{zw}$  มีค่าน้อยกว่า  $\gamma$  หรือ  $\|T_{zw}\|_\infty < \gamma$

จากจุดประสงค์ของการควบคุมข้างต้น จุดประสงค์ข้อแรกเพื่อประกันเสถียรภาพของระบบวงปิด ส่วนจุดประสงค์ข้อที่สองเพื่อให้ระบบวงปิดมีสมรรถนะคงทน นอกจากนี้ ขนาดของตัวแปรกำหนด ความไม่แน่นอน และนอร์มเหนี่ยวนำของ  $T_{zw}$  ถูกจำกัดให้มิต่ำน้อยกว่า  $\gamma$  ค่าเดียวกัน หากพลาเน็ตที่ต้องการออกแบบมีขนาดของตัวแปรกำหนด ความไม่แน่นอน หรือนอร์มเหนี่ยวนำของ  $T_{zw}$  ที่ไม่ใช่ค่าเดียวกัน สามารถทำให้เป็นค่าเดียวกันได้โดยสเกลบางเมทริกซ์ของสมการสถานะ

### 3.2 การออกแบบตัวควบคุม

จากหัวข้อที่แล้ว จุดประสงค์ของการควบคุมข้อแรกสามารถนำทฤษฎีบท ข.2 มาประยุกต์ใช้ได้ และจุดประสงค์ข้อที่สองใช้วิธีการเดียวกับหัวข้อ ข.2.2 ในภาคผนวก ข นั่นคือ เพิ่มความไม่แน่นอนแบบไม่มี

โครงสร้างเข้าไปในระบบดังรูปที่ 3.4(ก) และรวมตัวแปรกำหนดกับความไม่แน่นอนเข้าด้วยกันได้ดังรูปที่ 3.4(ข)



รูปที่ 3.4: ระบบวงจรถัดเมื่อเพิ่มเงื่อนไขสมรรถนะคงทน

กำหนดให้

$$\bar{\Theta}_p \triangleq \left\{ \begin{bmatrix} \Theta & 0 & 0 & 0 \\ 0 & \Theta & 0 & 0 \\ 0 & 0 & \Delta & 0 \\ 0 & 0 & 0 & \Delta_p \end{bmatrix} : \Theta \in \bar{\Theta}, \Delta \in \bar{\Delta} \text{ และ } \Delta_p \in \mathbb{R}^{n_w \times n_w} \right\} \quad (3.13)$$

เซตของเมทริกซ์การสเกลที่สอดคล้องกับตัวแปรกำหนดในเซต  $\bar{\Theta}$  เป็น

$$L_{\bar{\Theta}} = \{ L > 0 : L\Theta = \Theta L, \forall \Theta \in \bar{\Theta} \} \quad (3.14)$$

เซตของเมทริกซ์การสเกล  $L_{\bar{\Theta}_p}$  ที่สอดคล้องกับ  $\bar{\Theta}_p$  เป็นดังนี้

$$L_{\bar{\Theta}_p} = \left\{ \begin{bmatrix} L_1 & L_2 & 0 & 0 \\ L_2^T & L_3 & 0 & 0 \\ 0 & 0 & I & 0 \\ 0 & 0 & 0 & I \end{bmatrix} : L_1, L_3 \in L_{\bar{\Theta}} \text{ และ } L_2\Theta = \Theta L_2 \right\} \quad (3.15)$$

อาศัยบทตั้งที่ ข.1 เพื่อเปลี่ยนปัญหาจากอสมการของนอร์มอนด์ไปเป็นอสมการเมทริกซ์ ดังนี้

$$\begin{bmatrix} A_{cl}^T P + P A_{cl} & P B_{cl} & C_{cl}^T \\ B_{cl}^T P & -\gamma L & D_{cl}^T \\ C_{cl} & D_{cl} & -\gamma L^{-1} \end{bmatrix} < 0 \quad (3.16)$$

โดยที่  $L \in L_{\mathbb{R}^p}$  และพารามิเตอร์ของระบบวงปิดเป็นดังนี้

$$A_{cl} = \begin{bmatrix} A + B_2 D_{k11} C_2 & B_2 C_{k1} \\ B_{k1} C_2 & A_k \end{bmatrix} \quad (3.17)$$

$$B_{cl} = \begin{bmatrix} B_2 D_{k1\theta} & B_\theta + B_2 D_{k11} D_{2\theta} & B_\Delta + B_2 D_{k11} D_{2\Delta} & B_1 + B_2 D_{k11} D_{21} \\ B_{k\theta} & B_{k1} D_{2\theta} & B_{k1} D_{2\Delta} & B_{k1} D_{21} \end{bmatrix} \quad (3.18)$$

$$C_{cl} = \begin{bmatrix} D_{k\theta1} C_2 & C_{k\theta} \\ C_\theta + D_{\theta2} D_{k11} C_2 & D_{\theta2} C_{k1} \\ C_\Delta + D_{\Delta2} D_{k11} C_2 & D_{\Delta2} C_{k1} \\ C_1 + D_{12} D_{k11} C_2 & D_{12} C_{k1} \end{bmatrix} \quad (3.19)$$

$$D_{cl} = \begin{bmatrix} D_{k\theta\theta} & D_{k\theta1} D_{2\theta} & D_{k\theta1} D_{2\Delta} & D_{k\theta1} D_{21} \\ D_{\theta2} D_{k1\theta} & D_{\theta\theta} + D_{\theta2} D_{k11} D_{2\theta} & D_{\theta\Delta} + D_{\theta2} D_{k11} D_{2\Delta} & D_{\theta1} + D_{\theta2} D_{k11} D_{21} \\ D_{\Delta2} D_{k1\theta} & D_{\Delta\theta} + D_{\Delta2} D_{k11} D_{2\theta} & D_{\Delta\Delta} + D_{\Delta2} D_{k11} D_{2\Delta} & D_{\Delta1} + D_{\Delta2} D_{k11} D_{21} \\ D_{12} D_{k1\theta} & D_{1\theta} + D_{12} D_{k11} D_{2\theta} & D_{1\Delta} + D_{12} D_{k11} D_{2\Delta} & D_{11} + D_{12} D_{k11} D_{21} \end{bmatrix} \quad (3.20)$$

แบ่งเมทริกซ์  $P$ ,  $P^{-1}$ ,  $L$ , และ  $L^{-1}$  ดังนี้

$$P = \begin{bmatrix} Y & N \\ N^T & \bar{Y} \end{bmatrix} > 0 \quad P^{-1} = \begin{bmatrix} X & M \\ M^T & \bar{X} \end{bmatrix} \quad (3.21)$$

$$L = \begin{bmatrix} L_1 & L_2 & 0 & 0 \\ L_2^T & L_3 & 0 & 0 \\ 0 & 0 & I & 0 \\ 0 & 0 & 0 & I \end{bmatrix} > 0 \quad L^{-1} = \begin{bmatrix} J_1 & J_2 & 0 & 0 \\ J_2^T & J_3 & 0 & 0 \\ 0 & 0 & I & 0 \\ 0 & 0 & 0 & I \end{bmatrix} \quad (3.22)$$

โดยที่  $X \in \mathcal{R}^{n \times n}$  และ  $Y \in \mathcal{R}^{n \times n}$  เป็นเมทริกซ์บวกแน่นอนสมมาตร (symmetric, positive definite matrix)

$L_3 \in \mathcal{R}^{n_\theta \times n_\theta}$  และ  $J_3 \in \mathcal{R}^{n_\theta \times n_\theta}$  เป็นเมทริกซ์บวกแน่นอนสมมาตร

$M \in \mathcal{R}^{n \times n_k}$  และ  $N \in \mathcal{R}^{n \times n_k}$  เป็นเมทริกซ์ค่าลำดับชั้นหลักเต็ม (full-column-rank matrix)

$L_2 \in \mathcal{R}^{n_\theta \times n_\theta}$  และ  $J_2 \in \mathcal{R}^{n_\theta \times n_\theta}$  เป็นเมทริกซ์ค่าลำดับชั้นแถวเต็ม (full-row-rank matrix)

กำหนดให้

$$\begin{aligned} \Pi_1 &= \begin{bmatrix} X & I \\ M^T & 0 \end{bmatrix} & \hat{\Pi}_1 &= \begin{bmatrix} I & Y \\ 0 & N^T \end{bmatrix} \\ \Pi_2 &= \begin{bmatrix} 0 & J_2 & 0 & 0 \\ I & J_3 & 0 & 0 \\ 0 & 0 & I & 0 \\ 0 & 0 & 0 & I \end{bmatrix} & \hat{\Pi}_2 &= \begin{bmatrix} L_2 & 0 & 0 & 0 \\ L_3 & I & 0 & 0 \\ 0 & 0 & I & 0 \\ 0 & 0 & 0 & I \end{bmatrix} \end{aligned}$$



$$\dot{x}_1 = 5.88x_2 - \left(\frac{1 + \cos \phi_m}{2}\right)u - \left(\frac{1 - \cos \phi_m}{2}\right)w_{\theta 1} - w_{\Delta 1} \quad (3.24)$$

$$\dot{x}_2 = \left(\frac{1 + \frac{\cos \phi_m}{0.12 - 0.02 \cos^2 \phi_m}}{2}\right)x_1 + \left(\frac{1 - \frac{\cos \phi_m}{0.12 - 0.02 \cos^2 \phi_m}}{2}\right)w_{\theta 2} + w_{\Delta 2} \quad (3.25)$$

$$\dot{x}_3 = 9.8x_2 \quad (3.26)$$

$$\dot{x}_4 = x_3 \quad (3.27)$$

$$z_\infty = -x_2 + w \quad (3.28)$$

$$y = \begin{bmatrix} -x_2 + w \\ -x_4 \end{bmatrix} \quad (3.29)$$

$$z_{\theta 1} = u \quad (3.30)$$

$$z_{\theta 2} = x_1 \quad (3.31)$$

$$z_{\Delta 1} = 2x_1 \quad (3.32)$$

$$z_{\Delta 2} = x_2 \quad (3.33)$$

$$\text{โดยที่ } \Theta = \begin{bmatrix} \frac{2\theta'_1}{1 - \cos \phi_m} - \frac{1 + \cos \phi_m}{1 - \cos \phi_m} & 0 \\ 0 & \frac{2\theta'_2}{1 - \frac{\cos \phi_m}{0.12 - 0.02 \cos^2 \phi_m}} - \frac{1 + \frac{\cos \phi_m}{0.12 - 0.02 \cos^2 \phi_m}}{1 - \frac{\cos \phi_m}{0.12 - 0.02 \cos^2 \phi_m}} \end{bmatrix}$$

$$\Delta = \begin{bmatrix} \frac{0.02r_y \dot{r}_y}{(0.12 - 0.02r_y^2)} & 0.02\ddot{r}_y + \frac{0.0008r_y \dot{r}_y^2}{0.12 - 0.02r_y^2} \\ 0 & \frac{0.02r_y \dot{r}_y}{(0.12 - 0.02r_y^2)} \end{bmatrix}$$

ในที่นี้พิจารณาเฉพาะปัญหาเสถียรภาพของระบบเท่านั้น จะไม่พิจารณาปัญหาการตามรอย ดังนั้น สัญญาณเข้าภายนอก  $w_1$  จึงมีค่าเป็นศูนย์ นอกจากนี้ตำแหน่งของรถเป็นค่าที่ได้จากการวัดตำแหน่งเทียบกับจุดอ้างอิงเท่านั้น ดังนั้นค่าสถานะเริ่มต้นของตำแหน่งรถไม่มีผลต่อเสถียรภาพของระบบ จึงกำหนดให้มีค่าเท่ากับศูนย์เสมอ พิจารณาเพียงกรณีที่ค่าสถานะเริ่มต้นของมุมที่เบี่ยงเบนไปไม่เท่ากับศูนย์ และเพื่อให้สามารถเปรียบเทียบผลการควบคุมได้ จึงเพิ่มเงื่อนไขเอชทู สำหรับระบบลูกตุ้มผกผันนี้ ตัวแปรสถานะที่มีผลต่อเสถียรภาพของระบบมาก คือมุมที่เบี่ยงเบนของลูกตุ้ม ดังนั้นจึงกำหนดให้สัญญาณออกที่ต้องการให้สอดคล้องกับเงื่อนไขเอชทูเป็นดังนี้

$$z_2 = \begin{bmatrix} -x_2 \\ 0.5u \end{bmatrix}$$

การกำหนดเช่นนี้ทำให้รถเข้าสู่ตำแหน่งเริ่มต้นช้ามาก โดยระบบจะพยายามให้มุมที่เบี่ยงเบนมีขนาดเล็กมาก ๆ ก่อน แล้วจึงค่อยๆ ขยับให้รถวิ่งกลับไปสู่ตำแหน่งเริ่มต้น ดังนั้นการจำลองผลด้วยคอมพิวเตอร์ จะแสดงเฉพาะในช่วงเวลาที่มุมเบี่ยงเบนของลูกตุ้มมีการเปลี่ยนแปลงที่รวดเร็วและมีขนาดใหญ่พอสมควรเท่านั้น โดยจะแสดงผลตอบถึงช่วงสภาวะอยู่ตัวเพียงกรณีเดียว คือกรณีที่มีการเบี่ยงเบนสูงสุดที่ตัวควบคุมยังสามารถทำให้ระบบวงปิดมีเสถียรภาพได้



กำหนดให้มุมที่เบี่ยงเบนสูงสุดคือ  $\phi_m = 70^\circ$  และ  $\gamma = 2$  จากค่า  $\phi_m$  และค่า  $\gamma$  สามารถคำนวณช่วงของมุมที่เบี่ยงเบนสูงสุด ที่ยังรับประกันเสถียรภาพของระบบวงปิดได้เท่ากับ  $57.66^\circ$  เนื่องจากความไม่แน่นอนมีค่านอร์มอนันต์น้อยกว่าค่านอร์มอนันต์ของตัวแปรกำหนดมาก จึงปรับค่า  $B_\Delta$  ของระบบเป็น  $\gamma \|\Delta\|_\infty B_\Delta$  ได้ตัวควบคุมเอชอินฟินิตี้ที่มีการเปลี่ยนแปลงพารามิเตอร์เป็นดังนี้

$$\begin{aligned}
 A_k &= \begin{bmatrix} 1.06 & 1.76 & 1.29 & -4.99 \\ -6.01 & -4.93 & 6.27 & -17.52 \\ 5.15 & 3.29 & -10.49 & 21.32 \\ 3.26 \times 10^2 & 4.78 \times 10^2 & 3.51 \times 10^2 & 8.90 \times 10^2 \end{bmatrix} \\
 B_{k1} &= \begin{bmatrix} -10.50 & -0.87 \\ 45.87 & 4.39 \\ -49.86 & -3.96 \\ 1.23 \times 10^2 & -2.37 \times 10^2 \end{bmatrix} \\
 B_{k\theta} &= \begin{bmatrix} 0.03 & 0.03 \\ -0.14 & 1.23 \\ 0.15 & -1.77 \\ 3.77 & 11.00 \end{bmatrix} \\
 C_{k1} &= [2.57 \quad 2.65 \quad -0.82 \quad -0.02] \\
 C_{k\theta} &= \begin{bmatrix} -1.46 & -1.51 & 0.46 & -0.08 \\ -0.26 & 0.28 & 4.50 & 20.86 \end{bmatrix} \\
 D_{k11} &= [-20.90 \quad -1.91] \\
 D_{k1\theta} &= [0.93 \quad -0.28] \\
 D_{k\theta 1} &= \begin{bmatrix} 11.88 & 1.09 \\ 8.90 & 0.29 \end{bmatrix} \\
 D_{k\theta\theta} &= \begin{bmatrix} -0.53 & 0.16 \\ -0.02 & 0.60 \end{bmatrix}
 \end{aligned}$$

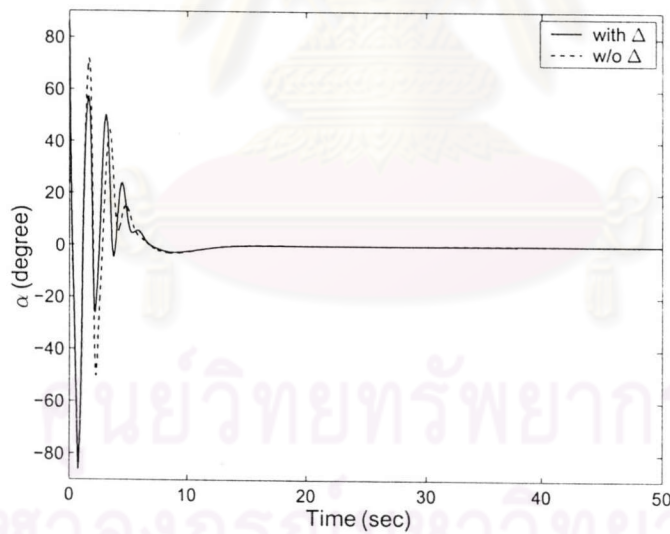
ตัวควบคุมเอชอินฟินิตี้ที่ไม่คำนึงถึงความไม่แน่นอนของระบบ ที่คำนวณตามวิธีในภาคผนวก ข เป็นดังนี้

$$\begin{aligned}
 A_k &= \begin{bmatrix} 0.95 & 1.56 & 1.36 & -4.97 \\ -5.56 & -4.61 & 6.07 & -15.79 \\ 4.61 & 3.05 & -10.61 & 20.90 \\ 3.14 \times 10^2 & 4.18 \times 10^2 & 2.91 \times 10^2 & -7.87 \times 10^2 \end{bmatrix} \\
 B_{k1} &= \begin{bmatrix} -9.37 & -0.75 \\ 45.27 & 4.28 \\ -50.58 & -3.93 \\ 1.06 \times 10^2 & -2.17 \times 10^2 \end{bmatrix}
 \end{aligned}$$

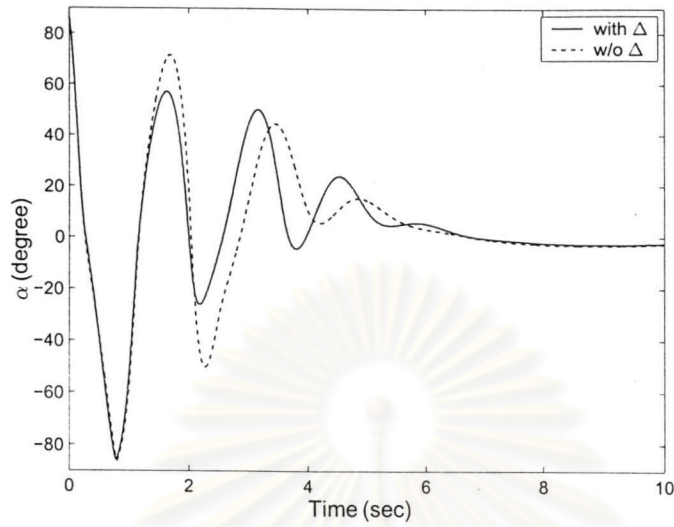
$$\begin{aligned}
 B_{k\theta} &= \begin{bmatrix} 0.03 & 0.05 \\ -0.14 & 1.25 \\ 0.15 & -1.84 \\ 3.48 & 8.01 \end{bmatrix} \\
 C_{k1} &= [2.45 \quad 2.45 \quad -0.87 \quad -0.02] \\
 C_{k\theta} &= \begin{bmatrix} -1.41 & -1.41 & 0.49 & -0.07 \\ -9.60 \times 10^{-3} & 0.30 & 4.18 & 19.24 \end{bmatrix} \\
 D_{k11} &= [-20.54 \quad -1.85] \\
 D_{k1\theta} &= [0.92 \quad -0.30] \\
 D_{k\theta 1} &= \begin{bmatrix} 11.79 & 1.06 \\ 8.59 & 0.24 \end{bmatrix} \\
 D_{k\theta\theta} &= \begin{bmatrix} -0.53 & 0.17 \\ -0.02 & 0.49 \end{bmatrix}
 \end{aligned}$$

ผลการจำลองระบบที่มุมเบี่ยงเบนเริ่มต้นต่าง ๆ กันเป็นดังนี้

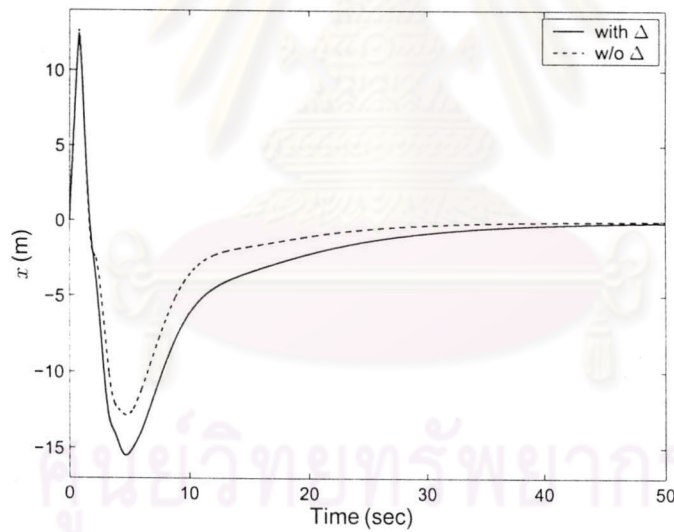
- กรณีที่มุมเบี่ยงเบนเริ่มต้น  $\alpha_0 = 86^\circ$



รูปที่ 3.5: มุมที่เบี่ยงเบนไปของลูกตุ้มผกผันเมื่อ  $\alpha_0 = 86^\circ$  (ตั้งแต่สภาวะเริ่มต้นถึงสภาวะอยู่ตัว)

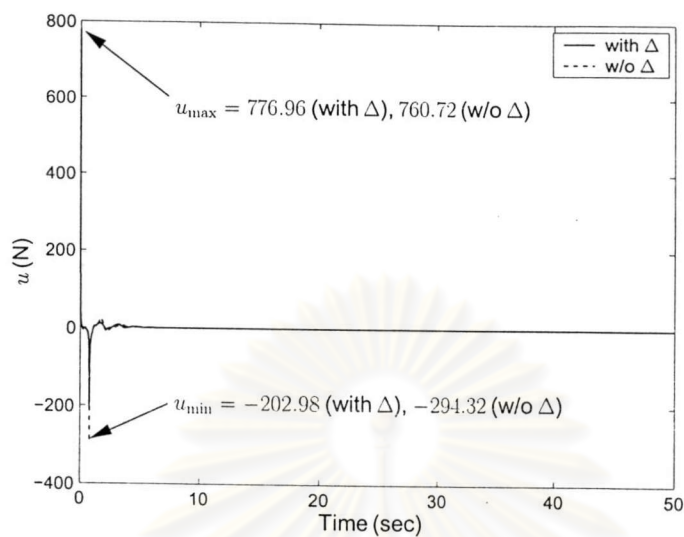


รูปที่ 3.6: มุมที่เบี่ยงเบนไปของลูกตุ้มผกผันเมื่อ  $\alpha_0 = 86^\circ$

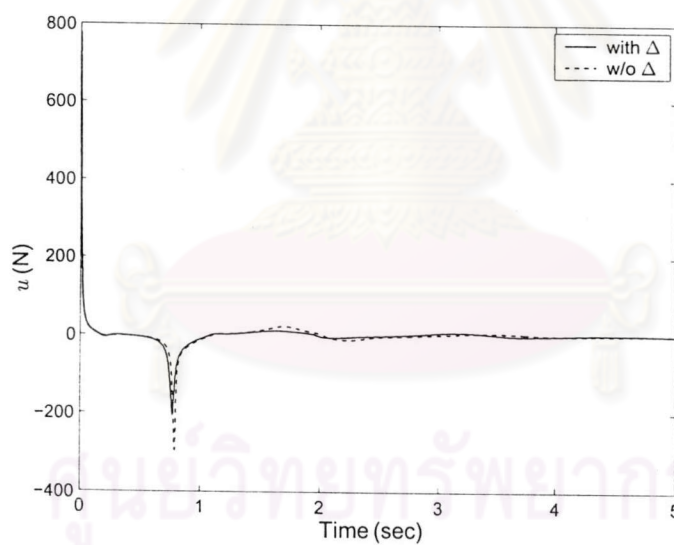


รูปที่ 3.7: ตำแหน่งของรถเมื่อ  $\alpha_0 = 86^\circ$  (ตั้งแต่สภาวะเริ่มต้นถึงสภาวะอยู่ตัว)

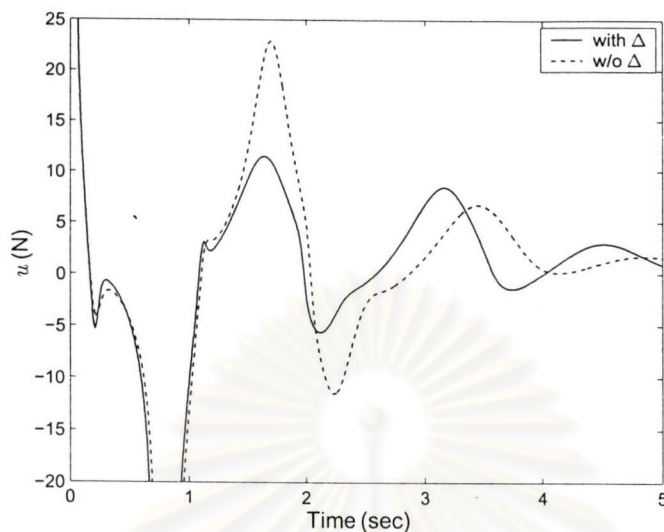
เมื่อพิจารณาผลตอบของมุมของลูกตุ้มในรูปที่ 3.6 พบว่าตัวควบคุมที่คำนึงถึงความไม่แน่นอนให้ผลตอบที่ดีกว่า เนื่องจากผลตอบมีการแกว่งน้อยกว่า ส่วนในรูปที่ 3.7 ซึ่งเป็นผลตอบของระยะทางที่รถเคลื่อนที่ พบว่ากรณีที่ละเลยความไม่แน่นอน รถสามารถวิ่งกลับสู่ตำแหน่งเดิมได้เร็วกว่า



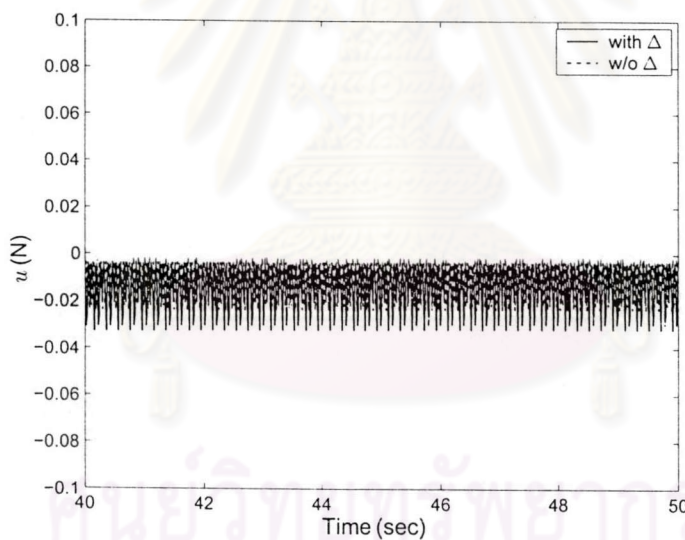
รูปที่ 3.8: สัญญาณควบคุมเมื่อ  $\alpha_0 = 86^\circ$  (ตั้งแต่สภาวะเริ่มต้นถึงสภาวะอยู่ตัว)



รูปที่ 3.9: สัญญาณควบคุมเมื่อ  $\alpha_0 = 86^\circ$  ในช่วง 5 วินาทีแรก



รูปที่ 3.10: ภาพขยายของสัญญาณควบคุมเมื่อ  $\alpha_0 = 86^\circ$  ในช่วง 5 วินาทีแรก

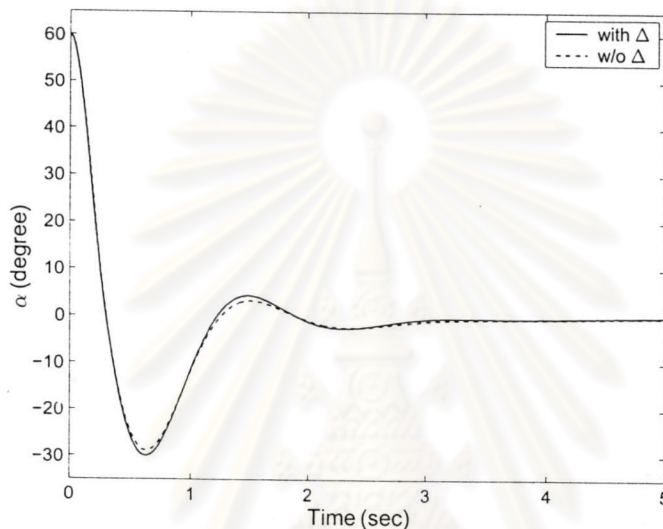


รูปที่ 3.11: ภาพขยายของสัญญาณควบคุมเมื่อ  $\alpha_0 = 86^\circ$  ในช่วง 10 วินาทีสุดท้าย

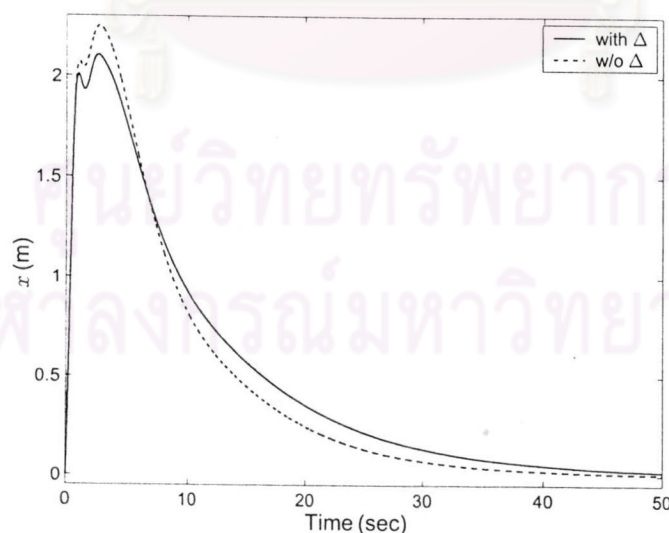
สัญญาณควบคุมนี้มีขนาดใหญ่มากในช่วงเวลาเริ่มต้นและลดลงอย่างรวดเร็ว ทั้งนี้เป็นผลเนื่องมาจากมุมที่เบี่ยงเบนในสภาวะเริ่มต้น และตัวควบคุมทั้งสองกรณีให้สัญญาณควบคุมที่มีค่าไม่ต่างกันมากนัก ในทางปฏิบัติสัญญาณควบคุมที่มีขนาดใหญ่เช่นนี้จำเป็นต้องใช้พลังงานสูง จึงนำตัวควบคุมนี้ไปควบคุม ลูกตุ้มผกผันที่มุมเบี่ยงเบนเริ่มต้นสูงขนาดนี้ได้ลำบาก ควรใช้วิธีการควบคุมด้วยวิธีอื่นๆ เช่น ปล่อยให้ลูกตุ้มตกไปอยู่ในตำแหน่ง  $180^\circ$  ก่อนแล้วจึงแกว่งลูกตุ้มนี้ขึ้นมาในภายหลัง หรือกำหนดให้สัญญาณควบคุมมีการอิมิตัว นอกจากนี้ยังมีวิธีการควบคุมแบบพลังงานน้อยที่สุด (minimum energy)

- กรณีที่มุมเบี่ยงเบนเริ่มต้น  $\alpha_0 = 60^\circ$

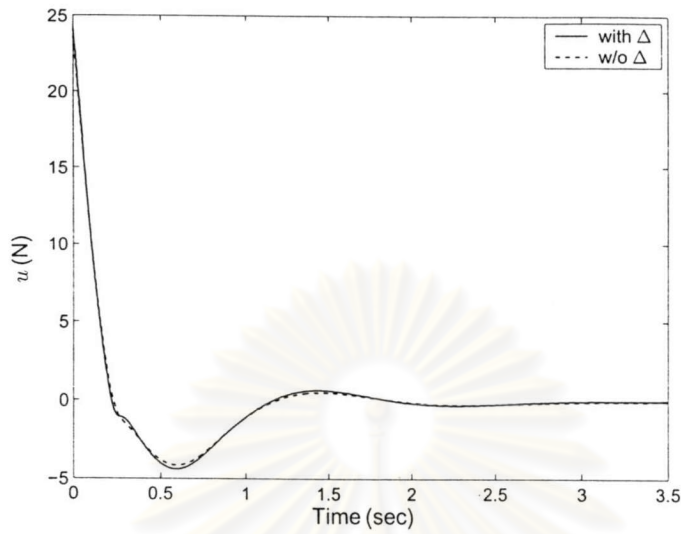
ในรูปที่ 3.12 ตัวควบคุมที่ละเลยความไม่แน่นอนให้ผลตอบที่แกว่งน้อยกว่า เมื่อพิจารณาระยะที่รถเคลื่อนที่ในรูปที่ 3.13 พบว่าตัวควบคุมที่คำนึงถึงความไม่แน่นอนมีส่วนพุ่งเกินต่ำกว่า แต่ก็วิ่งกลับไปสู่ตำแหน่งเริ่มต้นช้ากว่าด้วย สัญญาณควบคุมในรูปที่ 3.14 แสดงให้เห็นว่าตัวควบคุมทั้งสองกรณีให้สัญญาณควบคุมที่มีขนาดใกล้เคียงกัน และขนาดของสัญญาณควบคุมในขณะเริ่มต้นก็มีค่าสูงเช่นกรณีที่แล้ว



รูปที่ 3.12: มุมที่เบี่ยงเบนไปของลูกตุ้มผกผันเมื่อ  $\alpha_0 = 60^\circ$



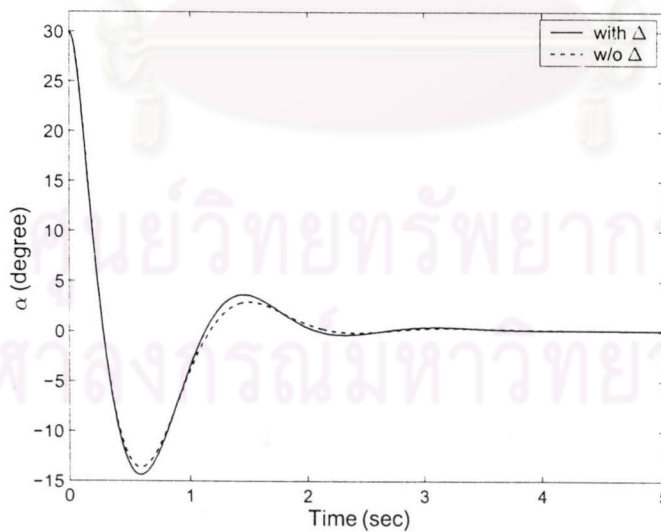
รูปที่ 3.13: ตำแหน่งของรถเมื่อ  $\alpha_0 = 60^\circ$



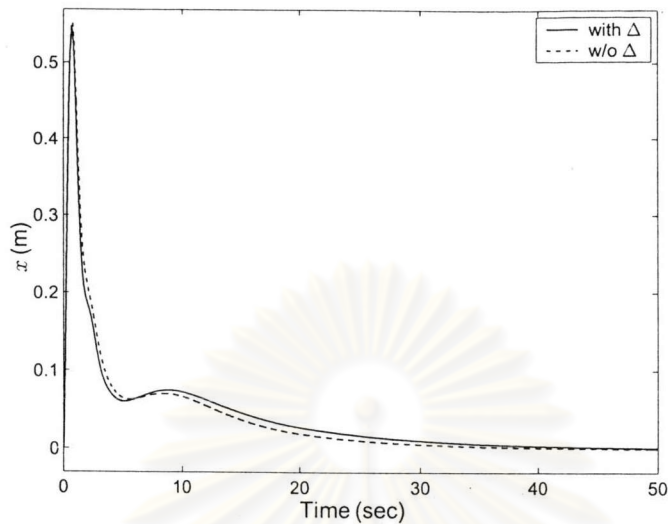
รูปที่ 3.14: สัญญาณควบคุมเมื่อ  $\alpha_0 = 60^\circ$

- กรณีที่มุมเบี่ยงเบนเริ่มต้น  $\alpha_0 = 30^\circ$

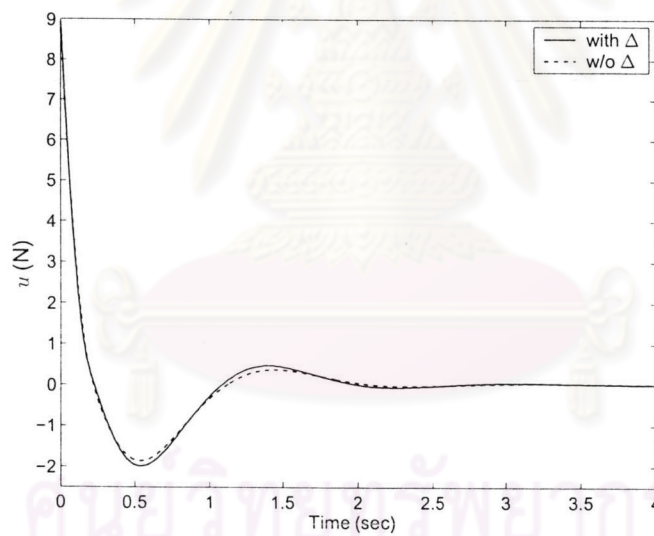
ในกรณีนี้ ผลตอบที่ได้เป็นไปในทางเดียวกับกรณีที่มุมเบี่ยงเบนเริ่มต้นเป็น  $\alpha_0 = 60^\circ$  นั่นคือ ผลตอบของมุมเบี่ยงเบนของตัวควบคุมที่ละเลยผลของความไม่แน่นอนแกว่งน้อยกว่า และรถก็วิ่งกลับไปสู่จุดเริ่มต้นเร็วกว่าด้วย ในขณะที่สัญญาณควบคุมที่ใช้แตกต่างกันน้อยมาก



รูปที่ 3.15: มุมที่เบี่ยงเบนไปของลูกตุ้มผกผันเมื่อ  $\alpha_0 = 30^\circ$



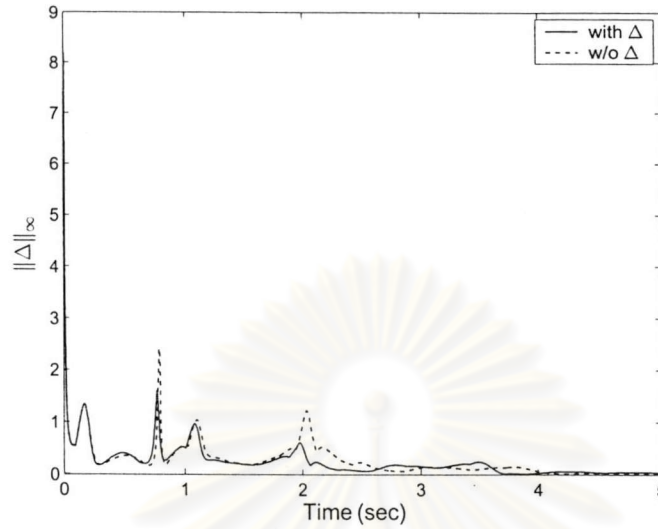
รูปที่ 3.16: ตำแหน่งของรถเมื่อ  $\alpha_0 = 30^\circ$



รูปที่ 3.17: สัญญาณควบคุมเมื่อ  $\alpha_0 = 30^\circ$

เมื่อพิจารณาโดยรวมแล้ว พบว่าตัวควบคุมที่คำนึงถึงผลของความไม่แน่นอน มีผลตอบที่ใกล้เคียงกับกรณีที่ละเลยความไม่แน่นอน และมุมเบี่ยงเบนเริ่มต้นสูงสุดที่ตัวควบคุมยังสามารถทำให้ระบบมีเสถียรภาพได้มีค่าใกล้เคียงกัน แสดงว่าการคำนึงถึงความไม่แน่นอนไม่ได้ทำให้ระบบมีเสถียรภาพที่ดีขึ้นดังที่คาดไว้ เมื่อพิจารณาถึงสาเหตุจะพบว่าความไม่แน่นอนในกรณีนี้มีค่าแคในช่วงเริ่มต้น ขณะที่มุมเบี่ยงเบนมีค่ามากหรือมีการเปลี่ยนแปลงมุมอย่างรวดเร็วเท่านั้นดังแสดงในรูปที่ 3.18





รูปที่ 3.18: นอร์มอนันต์ของความไม่แน่นอนของระบบลูกตุ้มผกผันบนรถเมื่อ  $\alpha_0 = 86^\circ$

### 3.3.2 ระบบเลี้ยงลูกบอลบนคาน

จากภาคผนวก ค สมการสถานะของระบบเลี้ยงลูกบอลบนคานเป็นดังนี้

$$\dot{x}_1 = x_2 \quad (3.34)$$

$$\dot{x}_2 = 6.785x_4 + 0.692w_\theta \quad (3.35)$$

$$\dot{x}_3 = -1.4444 \times 10^4 x_3 - 42.611x_5 + 5.5555 \times 10^3 u \quad (3.36)$$

$$\dot{x}_4 = x_5 \quad (3.37)$$

$$\dot{x}_5 = -3.3677 \times 10^2 x_1 + 2.6357x_3 + w_\Delta \quad (3.38)$$

$$z_\infty = -x_1 + w \quad (3.39)$$

$$y = \begin{bmatrix} -x_1 + w \\ -x_5 \end{bmatrix} \quad (3.40)$$

$$z_\theta = x_1 \quad (3.41)$$

$$z_\Delta = -0.981x_1 + 0.767 \times 10^{-2}x_3 \quad (3.42)$$

$$w_\theta = \theta z_\theta \quad (3.43)$$

$$w_\Delta = \Delta z_\Delta \quad (3.44)$$

โดยที่  $\theta = \dot{\phi}^2$  และ  $\Delta = \frac{-\dot{\Delta}}{J(J+\Delta)}$

เป้าหมายของการควบคุมนี้ คือ ต้องการให้ลูกบอลอยู่ตำแหน่งกึ่งกลางของคาน ดังนั้นสัญญาณเข้าภายนอกจึงมีค่าเป็นศูนย์ นอกจากนี้ลูกบอลต้องอยู่บนคานตลอดเวลา และมอเตอร์ไม่ควรหมุนด้วย

ความเร็วรอบที่สูง จึงเลือกสัญญาณออกที่ต้องการให้สอดคล้องกับเงื่อนไขเซตที่เป็นดังนี้

$$z_2 = [x_1 \ x_5 \ u]^T$$

กำหนดให้  $\gamma = 3.5$  และปรับค่า  $B_\Delta$  ของระบบเป็น  $\gamma \|\Delta\|_\infty B_\Delta$  เช่นเดียวกับกรณีระบบลูกตุ้มผกผันบนรถ ได้ตัวควบคุมเอชอินฟินิตี้ที่มีการเปลี่ยนแปลงพารามิเตอร์เป็นดังนี้

$$A_k = \begin{bmatrix} -2.911 \times 10^4 & -1.01 \times 10^4 & 1.345 \times 10^4 & 4182 & 4404 \\ -3.118 \times 10^4 & -1.083 \times 10^4 & 1.442 \times 10^4 & 4483 & 5010 \\ 2.166 \times 10^4 & 7514 & -1.001 \times 10^4 & -3111 & -3241 \\ -1.584 \times 10^4 & -5514 & 7353 & 2278 & 2491 \\ 3081 & 2283 & -3058 & -2118 & -1.857 \times 10^5 \end{bmatrix}$$

$$B_{k1} = \begin{bmatrix} -233 & 808.4 \\ -249.7 & 865.8 \\ 174 & -601.4 \\ -153 & 441 \\ -38.44 & -176.9 \end{bmatrix}$$

$$B_{k\theta} = \begin{bmatrix} -0.2394 \\ -0.2585 \\ 0.1727 \\ -0.1461 \\ -0.01109 \end{bmatrix}$$

$$C_{k1} = [1656 \ 1141 \ -1519 \ -472.4 \ -504]$$

$$C_{k\theta} = [3.652 \ -7.742 \ 19.44 \ 1.029 \ 385.9]$$

$$D_{k11} = [26.31 \ -91.3]$$

$$D_{k1\theta} = 0.02704$$

$$D_{k\theta 1} = [3.668 \ 0.4477]$$

$$D_{k\theta\theta} = -8.282 \times 10^{-7}$$

ตัวควบคุมเอชอินฟินิตี้ที่ไม่คำนึงถึงความไม่แน่นอนของระบบ ที่คำนวณตามวิธีในภาคผนวก ข เป็นดังนี้

$$A_k = \begin{bmatrix} -1.445 \times 10^4 & -108.3 & 23.28 & 0.3078 & 2.58 \\ -603 & -24.14 & 13.56 & -24.7 & -222.9 \\ -149.4 & -2.519 & 0.1573 & -1.558 & 200.5 \\ 188 & -102.8 & 61.14 & -137.5 & -403.8 \\ -3767 & -763.1 & 432.5 & -877.2 & -8990 \end{bmatrix}$$

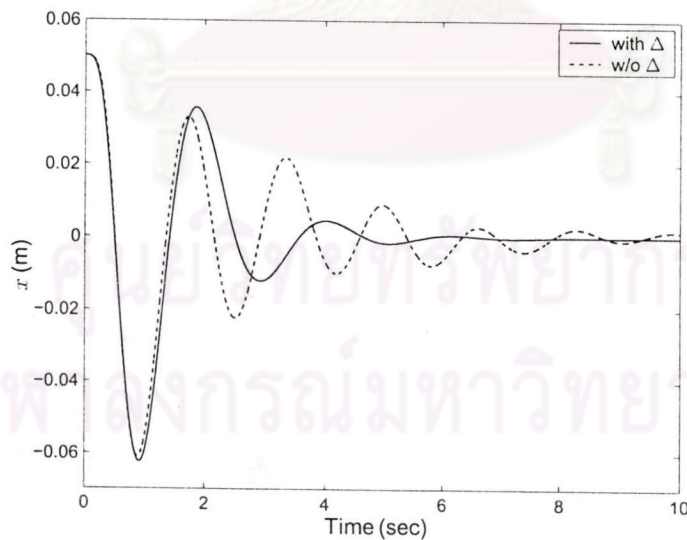
$$B_{k1} = \begin{bmatrix} 7524 & 387.9 \\ 168 & -4.435 \\ 154.2 & -56.45 \\ -617.4 & 293.4 \\ -8265 & 1623 \end{bmatrix}$$

$$\begin{aligned}
 B_{k\theta} &= \begin{bmatrix} -1.978 \times 10^{-3} \\ -3.996 \times 10^{-5} \\ -1.264 \times 10^{-4} \\ 6.869 \times 10^{-5} \\ -3.767 \times 10^{-3} \end{bmatrix} \\
 C_{k1} &= [0.079 \quad 2.077 \quad -0.4464 \quad -0.00603 \quad -0.04939] \\
 C_{k\theta} &= [23.78 \quad -197.8 \quad 53.69 \quad 372.7 \quad -2.361 \times 10^4] \\
 D_{k11} &= [-144.3 \quad -7.439] \\
 D_{k1\theta} &= 3.792 \times 10^{-5} \\
 D_{k\theta 1} &= [16.66 \quad 60.47] \\
 D_{k\theta\theta} &= -3.683 \times 10^{-3}
 \end{aligned}$$

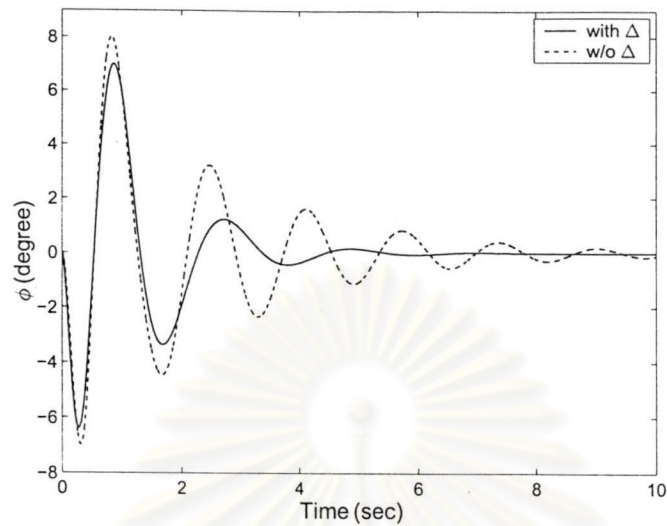
ผลการควบคุมเป็นดังนี้

- กรณีที่ตำแหน่งลูกบอลเริ่มต้นที่  $x_0 = 0.05$  m

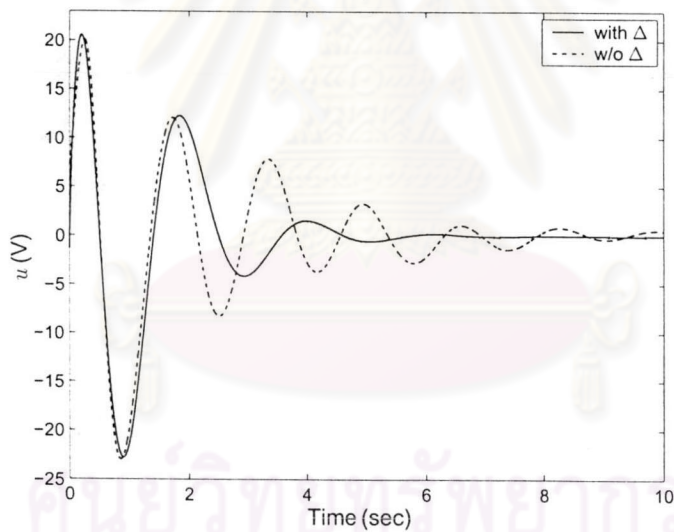
จากผลตอบของตำแหน่งลูกบอลในรูปที่ 3.19 ตัวควบคุมเอชอินฟินิตี้ที่คำนึงถึงผลของความไม่แน่นอน ให้ผลตอบที่แกว่งน้อยกว่ากรณีที่ละเลยความไม่แน่นอน และลูกบอลหยุดนิ่งที่จุดกึ่งกลางของคานเร็ว กว่า ทั้งนี้เนื่องจากมุมของคานในกรณีที่ละเลยความไม่แน่นอนมีส่วนพุ่งเกินที่สูงกว่า ลูกบอลจึงกลิ้งด้วยความเร็วที่สูงกว่า ดังนั้นผลตอบของตำแหน่งของลูกบอลจึงมีลักษณะที่แกว่งมากกว่า



รูปที่ 3.19: ตำแหน่งของลูกบอลเมื่อ  $x_0 = 0.05$  m



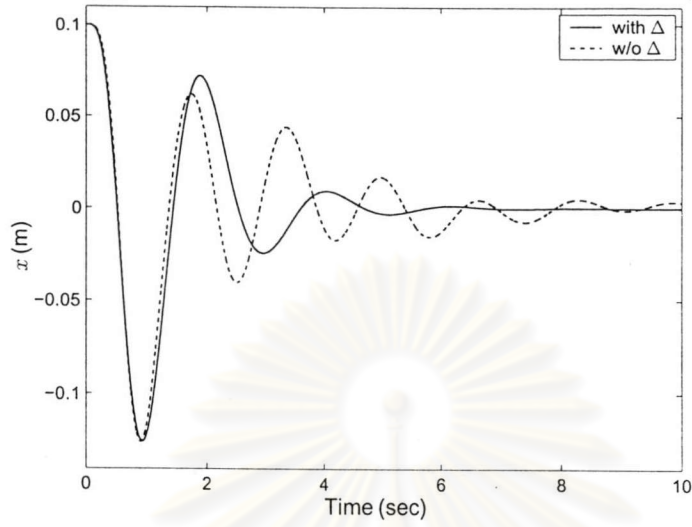
รูปที่ 3.20: มุมของคานเมื่อ  $x_0 = 0.05$  m



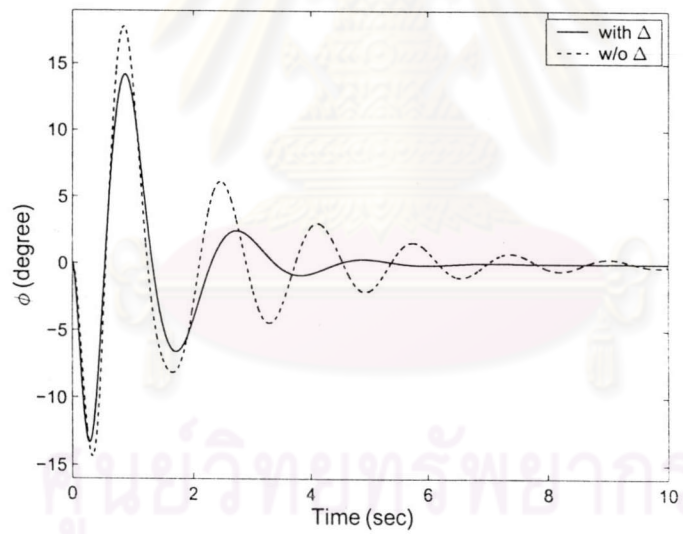
รูปที่ 3.21: สัญญาณควบคุมเมื่อ  $x_0 = 0.05$  m

- กรณีที่ตำแหน่งลูกบอลเริ่มต้นที่  $x_0 = 0.1$  m

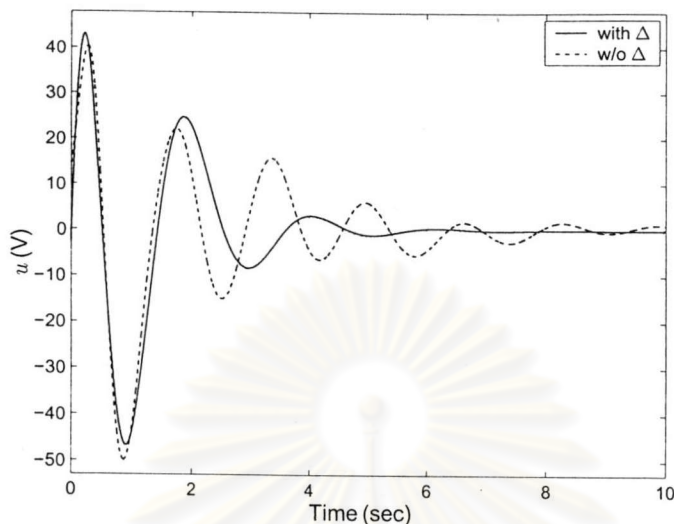
จากรูปที่ 3.22 และ 3.23 ผลตอบของตำแหน่งลูกบอลและมุมของคานในกรณีของตัวควบคุมเอชอินฟินิตีที่ละเอียดผลของความไม่แน่นอน มีการแกว่งมากกว่ากรณีที่คำนึงถึงผลของความไม่แน่นอนเช่นเดียวกับกรณีที่เริ่มต้นที่ตำแหน่ง  $x_0 = 0.05$  m



รูปที่ 3.22: ตำแหน่งของลูกบอลเมื่อ  $x_0 = 0.1$  m



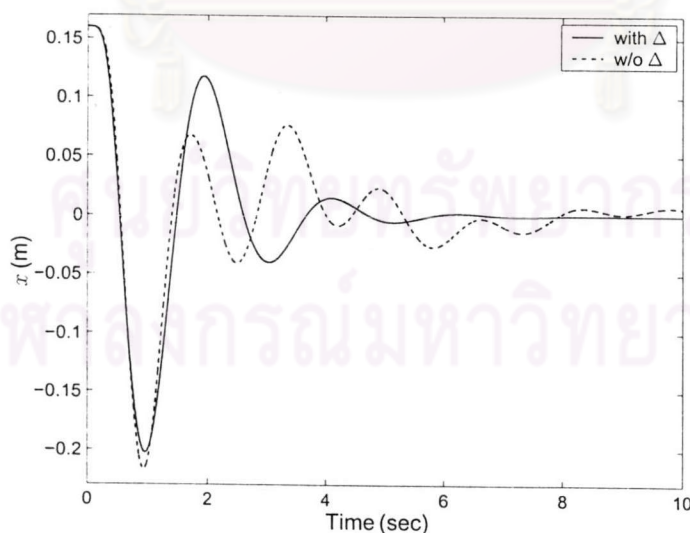
รูปที่ 3.23: มุมของคานเมื่อ  $x_0 = 0.1$  m



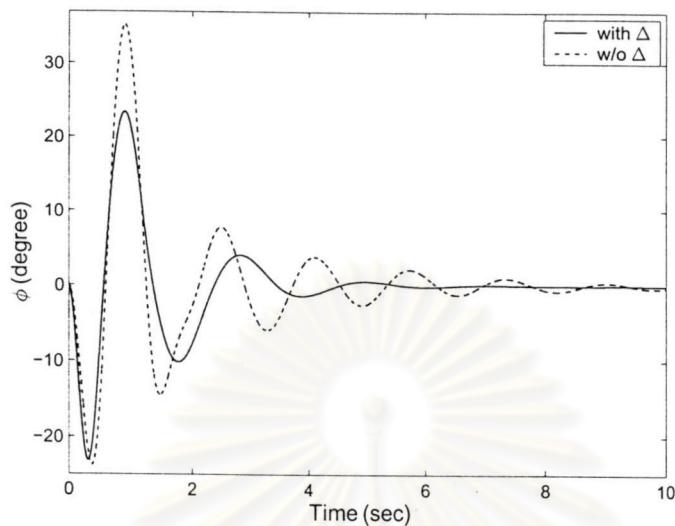
รูปที่ 3.24: สัญญาณควบคุมเมื่อ  $x_0 = 0.1$  m

- กรณีที่ตำแหน่งลูกบอลเริ่มต้นที่  $x_0 = 0.16$  m

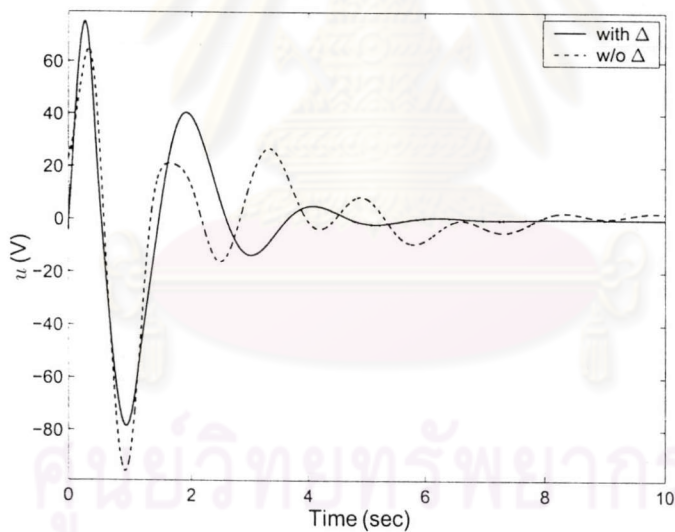
จากรูปที่ 3.25 ตำแหน่งของลูกบอลกรณีนี้ที่คำนึงถึงความไม่แน่นอน ที่อยู่ห่างจากจุดกึ่งกลางคานมากที่สุดเท่ากับ 0.2027 m ซึ่งยังคงอยู่บนคาน แต่กรณีที่ละเลยความไม่แน่นอน จุดที่ห่างที่สุดมีค่าเท่ากับ 0.2171 m ซึ่งมากกว่าความยาวครึ่งหนึ่งของคาน ดังนั้นในกรณีที่ละเลยความไม่แน่นอนนี้ ลูกบอลจะลื่นตกจากคานตั้งแต่วินาทีที่ 0.9



รูปที่ 3.25: ตำแหน่งของลูกบอลเมื่อ  $x_0 = 0.16$  m

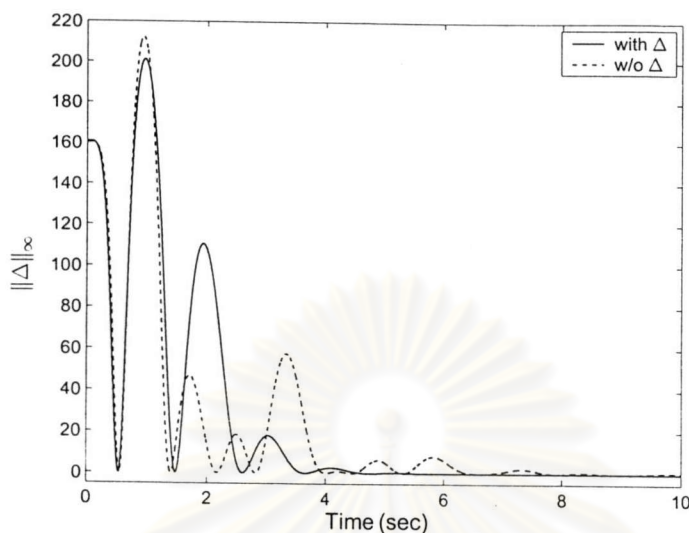


รูปที่ 3.26: มุมของคานเมื่อ  $x_0 = 0.16$  m



รูปที่ 3.27: สัญญาณควบคุมเมื่อ  $x_0 = 0.16$  m

จากผลตอบของระบบเลี้ยงลูกบอลบนคาน ผลตอบทุกผลตอบแสดงให้เห็นว่าตรงกันว่า การละลายความไม่แน่นอนมีผลต่อการควบคุม ในรูปที่ 3.28 แสดงนอร์มอ์นัต์ของความไม่แน่นอนที่เวลาต่าง ๆ พบว่ากรณีที่ค่าหนึ่งถึงความไม่แน่นอน นอร์มอ์นัต์จะลดลงได้เร็วกว่า และมีค่าเป็นศูนย์เร็วกว่าซึ่งเป็นผลมาจากการที่ลูกบอลหยุดที่จุดกึ่งกลางของคานได้เร็วกว่านั่นเอง



รูปที่ 3.28: นอร์มอันดับของความไม่แน่นอนของระบบเลี้ยงลูกบอลบนคานเมื่อ  $x_0 = 0.16$  m

### 3.4 สรุป

ในบทนี้แสดงวิธีการออกแบบตัวควบคุมเอชอินฟินิตี้ สำหรับระบบเชิงเส้นที่เปลี่ยนแปลงตามพารามิเตอร์ ที่มีความไม่แน่นอนแบบไม่มีโครงสร้าง ในช่วงท้ายได้แสดงตัวอย่างการควบคุมระบบลูกตุ้มผกผันบนรถและระบบเลี้ยงลูกบนคาน พร้อมทั้งเปรียบเทียบผลการควบคุมด้วยตัวควบคุมที่คำนึงถึงผลของความไม่แน่นอน กับตัวควบคุมที่ละเลยความไม่แน่นอน จากผลตอบของระบบลูกตุ้มผกผันบนรถพบว่าตัวควบคุมทั้งสองสามารถควบคุมระบบได้ไม่ต่างกัน แต่ในกรณีของระบบเลี้ยงลูกบอลบนคาน ตัวควบคุมที่คิดถึงผลของความไม่แน่นอนสามารถควบคุมระบบได้ดีกว่า

จากตัวอย่างทั้งสองนี้ แสดงให้เห็นว่าตัวควบคุมที่ละเลยความไม่แน่นอนที่เกิดจากการละเลยพลวัตช่วงความถี่สูงของระบบ (ดังเช่นกรณีระบบลูกตุ้มผกผันบนรถ) ซึ่งเป็นความไม่แน่นอนที่มีค่าอยู่ในช่วงเวลาสั้นๆ หรือเป็นความไม่แน่นอนที่มีขนาดเล็กๆ ตัวควบคุมที่คำนึงถึงความไม่แน่นอนชนิดนี้ให้ผลการควบคุมไม่ต่างจากกรณีที่ละเลยผลของความไม่แน่นอน แต่ในกรณีที่ความไม่แน่นอนมีผลกับระบบในระยะยาวหรือมีขนาดใหญ่ (ดังเช่นกรณีระบบเลี้ยงลูกบอลบนคาน) ตัวควบคุมที่คำนึงถึงความไม่แน่นอนจะให้ผลการควบคุมที่ดีกว่า ดังนั้นในการนำตัวควบคุมนี้ไปประยุกต์ใช้กับระบบจริง ควรคำนึงถึงลักษณะของความไม่แน่นอนด้วย หากความไม่แน่นอนมีค่าภายในช่วงเวลาสั้นหรือเป็นความไม่แน่นอนที่มีขนาดเล็ก ความไม่แน่นอนในลักษณะนี้ส่งผลถึงสัญญาณออกน้อย ตัวควบคุมที่นำเสนอซึ่งเป็นตัวควบคุมที่คำนึงถึงผลของความไม่แน่นอน จะให้ผลตอบที่ไม่ต่างจากกรณีที่ละเลยผลของความไม่แน่นอน แต่หากความไม่แน่นอนมีผลต่อสัญญาณออกมาก ตัวควบคุมที่คำนึงถึงผลของความไม่แน่นอนจะให้ผลตอบที่ดีกว่า